

WYNIKI CIĄGŁYCH POMIARÓW HAŁASU W ŚRODOWISKU

DLA LOTNISKA CHOPINA W WARSZAWIE

Nazwa obiektu: Punkt pomiarowy nr 9 „Zamienie”

Data wykonania pomiaru:

początek: 01 - 12 - 2023

koniec: 31 - 12 - 2023

Lokalizacja punktu pomiarowego: Zamienie, ul. Błędna 32

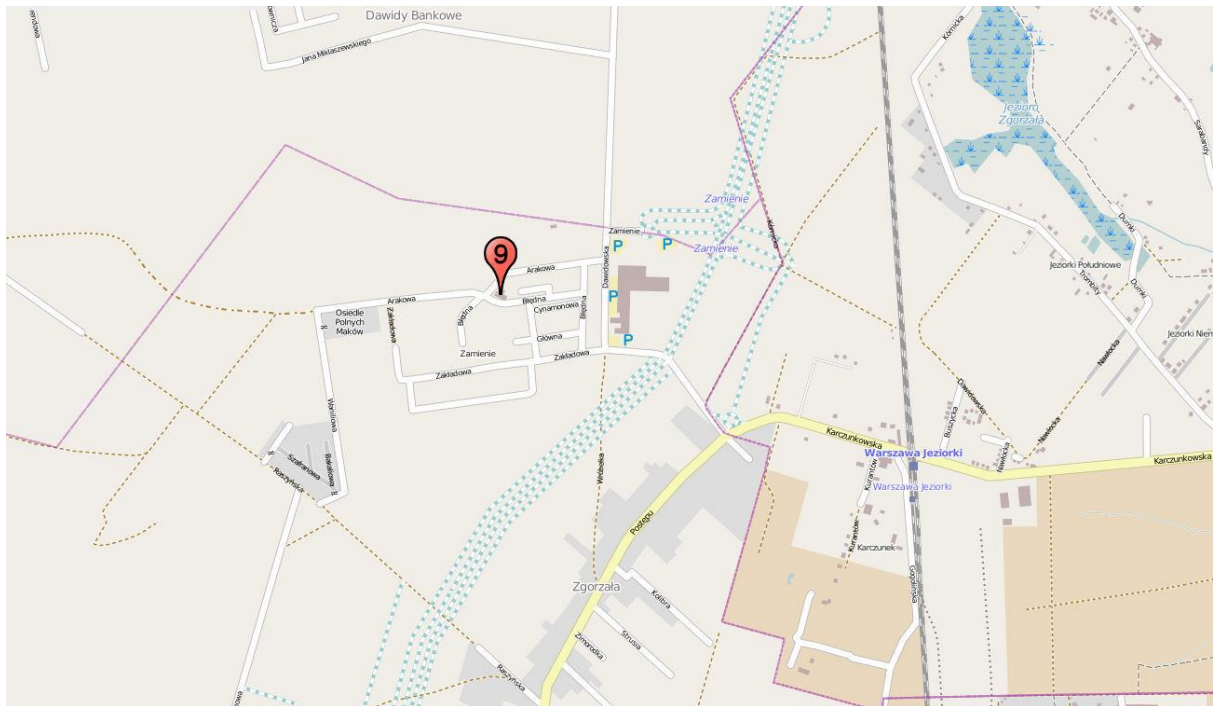
Układ współrzędnych: WGS 84

Szerokość geograficzna: N 52° 06' 53,6"

Długość geograficzna: E 20° 58' 27,4"

Względna wysokość punktu pomiarowego [m]: 12

Lokalizacja na planie:



Metoda badań:

Metoda ciągłych lub okresowych pomiarów monitoringowych: metodyka referencyjna, określona w załączniku nr 1 do rozporządzenia Ministra Środowiska z dnia 16.06.2011 w sprawie wymagań w zakresie prowadzenia pomiarów poziomów substancji lub energii w środowisku przez zarządzającego drogą, linią kolejową, linią tramwajową, lotniskiem, portem.

Metody obliczeniowe: jw.

Aparatura pomiarowa:

Analizator poziomu dźwięku (producent; nr typu): Lochard, EMU-2

Mikrofon/sonda mikrofonowa (producent; nr typu): Lochard, 41DM-2

Świadectwo uwierzytelnienia nr 00025848/02/2021 z dnia 14.05.2021r. wydane przez Laboratorium Akredytowane Nr AP 146

Wzorzec akustyczny (producent; nr typu): Brüel & Kjær; 4228

Równoważny poziom dźwięku w porze dnia i w porze nocy
w odniesieniu do jednej doby, wg wskaźników L_{AeqD} i L_{AeqN}
powodowany przez starty, lądowania i przeloty statków
powietrznych

Dzień miesiąca/ Grudzień 2023 r.	Równoważny poziom dźwięku	
	Pora dnia L_{AeqD} w dB	Pora nocy L_{AeqN} w dB
1	0,0	0,0
2	0,0	0,0
3	0,0	0,0
4	29,5	40,4
5	37,0	38,2
6	40,8	38,9
7	44,5	37,0
8	38,9	36,4
9	33,9	40,5
10	33,3	37,2
11	43,1	43,6
12	0,0	35,7
13	35,6	38,5
14	33,3	0,0
15	0,0	0,0
16	0,0	0,0
17	0,0	0,0
18	0,0	0,0
19	0,0	0,0
20	0,0	0,0
21	25,4	0,0
22	0,0	0,0
23	0,0	0,0
24	0,0	0,0
25	0,0	0,0
26	0,0	0,0
27	0,0	0,0
28	32,3	32,5
29	0,0	0,0
30	0,0	0,0
31	39,8	40,2

Zgodnie z art. 112a ustawy – Prawo ochrony środowiska oraz rozporządzeniem Ministra Środowiska z dnia 16 czerwca 2011 r. *w sprawie wymagań w zakresie prowadzenia pomiarów poziomów substancji lub energii w środowisku przez zarządzającego drogą, linią kolejową, linią tramwajową, lotniskiem lub portem*, do ustalania i kontroli warunków korzystania ze środowiska mają zastosowanie wskaźniki hałasu odnoszące się do jednej doby:

- L_{AeqD} – równoważny poziom dźwięku A dla pory dnia (rozumianej jako przedział czasu od godz. 6.00 do godz. 22.00),
- L_{AeqN} – równoważny poziom dźwięku A dla pory nocy (rozumianej jako przedział czasu od godz. 22.00 do godz. 6.00).

Wyznaczone wartości tych wskaźników dla poszczególnych dni i nocy w grudniu 2023 podano w tabeli powyżej.

W tabelach poniżej podano zestawienia zdarzeń akustycznych zarejestrowanych w punkcie pomiarowym, na podstawie których wyznaczono wartości wskaźników L_{AeqD} i L_{AeqN} dla poszczególnych dni i nocy w miesiącu.

Zestawienie zdarzeń akustycznych spowodowanych przelotami statków
powietrznych w porze dnia (przedział czasu pomiędzy godz. 06.00 – 22.00)

Nr punktu pomiarowego	Data i godz. zdarzenia	Samolot	Operacja*	L _{Aeq}	L _{Amax}	L _{AE}
				[dB]	[dB]	[dB]
9	01-12-2023 13:04:21	E190	A	68,1	72,5	81,7
9	02-12-2023 20:19:37	E195	A	62,5	66,1	71,5
9	03-12-2023 18:19:32	CRJ9	A	63,8	67,2	73,3
9	04-12-2023 20:03:37	B738	D	63,3	64,2	75,1
9	05-12-2023 06:38:53	A332	D	68,6	70,6	81,4
9	05-12-2023 07:33:37	E75S	D	70,4	74,5	83,4
9	05-12-2023 18:27:38	C680	D	64,0	64,7	73,1
9	05-12-2023 19:31:50	E195	D	68,4	71,8	81,8
9	05-12-2023 20:50:25	B738	D	66,5	69,5	81,0
9	06-12-2023 13:41:09	A319	D	69,0	70,1	80,7
9	06-12-2023 18:15:04	A319	D	66,5	70,0	80,6
9	06-12-2023 18:26:42	A321	D	64,9	68,3	80,0
9	06-12-2023 21:13:44	B763	D	65,8	68,5	79,6
9	06-12-2023 21:26:21	A321	D	66,0	70,5	80,2
9	07-12-2023 07:10:43	A321	D	67,0	69,8	78,1
9	07-12-2023 13:57:23	B738	D	67,2	68,0	76,2
9	07-12-2023 14:59:54	A21N	D	71,4	73,3	82,9
9	07-12-2023 15:11:34	A20N	D	66,8	68,1	76,8
9	07-12-2023 18:08:41	C650	D	71,5	76,4	88,3
9	07-12-2023 18:29:16	A319	D	67,9	70,4	81,5
9	07-12-2023 18:38:40	A321	D	61,9	64,0	70,9
9	07-12-2023 18:47:14	A321	D	62,5	65,1	74,2
9	07-12-2023 19:38:33	E190	D	63,5	65,1	75,6
9	07-12-2023 21:26:22	B763	D	69,7	75,0	85,9
9	07-12-2023 21:28:38	E190	D	68,1	72,8	79,3
9	07-12-2023 21:56:21	B738	D	65,0	66,9	77,3
9	08-12-2023 15:39:54	A319	D	67,9	70,7	79,7
9	08-12-2023 16:32:21	B38M	D	70,5	72,7	80,0
9	08-12-2023 16:57:43	E75S	D	68,6	71,4	78,6
9	08-12-2023 17:07:54	B738	D	69,2	70,9	80,0
9	08-12-2023 19:13:56	A321	D	64,0	65,9	74,8
9	09-12-2023 07:24:02	E75S	D	70,6	74,3	83,8
9	09-12-2023 08:08:56	E75S	D	70,3	72,0	82,1
9	09-12-2023 18:30:58	A339	D	64,0	66,5	73,0
9	09-12-2023 20:35:42	E190	D	62,3	64,0	71,8
9	10-12-2023 18:04:30	A321	D	64,5	66,7	78,7
9	11-12-2023 07:53:40	B38M	D	68,9	70,6	81,7
9	11-12-2023 09:46:52	A321	D	68,0	71,0	83,2
9	11-12-2023 15:20:28	A321	D	71,6	75,3	86,2
9	11-12-2023 18:20:25	A321	D	63,9	65,5	75,0
9	11-12-2023 19:09:00	A319	D	63,5	68,3	75,8
9	11-12-2023 19:17:20	B738	D	64,4	69,1	77,8
9	11-12-2023 19:40:38	E190	D	65,1	70,4	79,3
9	11-12-2023 19:58:58	A21N	D	62,1	64,1	71,7
9	11-12-2023 20:06:46	E170	D	70,3	75,3	86,1
9	11-12-2023 20:08:18	E190	D	62,6	64,2	74,1
9	11-12-2023 20:17:49	E75S	D	63,3	65,9	78,0
9	11-12-2023 20:51:18	B738	D	64,0	64,9	73,1
9	11-12-2023 20:53:43	E190	D	66,3	69,4	80,4
9	11-12-2023 21:13:50	B738	D	62,6	64,2	74,7
9	12-12-2023 12:17:56	E195	A	68,8	69,8	77,8
9	12-12-2023 14:48:08	A21N	A	68,0	69,4	78,0
9	12-12-2023 21:33:35	B38M	A	63,9	64,3	77,1
9	13-12-2023 15:46:59	E195	D	66,6	70,7	83,9

9	13-12-2023 19:18:56	A21N	D	63,2	64,3	73,2
9	13-12-2023 19:35:19	A321	D	64,9	68,7	79,5
9	14-12-2023 07:27:02	B38M	D	70,7	73,5	81,8
9	15-12-2023 10:40:50	E170	A	68,5	71,9	80,5
9	15-12-2023 15:36:56	E75S	A	69,1	74,3	85,6
9	17-12-2023 06:19:16	B738	A	64,4	67,3	74,4
9	17-12-2023 19:56:39	E190	A	67,1	70,3	77,5
9	18-12-2023 08:16:02	E190	A	69,3	72,6	78,8
9	18-12-2023 08:46:01	E190	A	68,1	72,1	84,2
9	18-12-2023 09:09:54	CRJ9	A	68,2	69,2	77,8
9	18-12-2023 09:18:39	E75S	A	67,5	70,1	78,0
9	18-12-2023 10:39:13	E170	A	67,5	70,0	79,5
9	18-12-2023 11:23:39	A321	A	67,9	69,9	77,0
9	18-12-2023 14:07:14	A20N	A	69,0	72,1	82,8
9	18-12-2023 15:33:28	E195	A	66,4	68,4	76,0
9	19-12-2023 09:00:30	C56X	A	67,8	68,7	77,3
9	19-12-2023 09:15:13	C56X	A	67,1	67,7	76,7
9	19-12-2023 09:24:17	E75S	A	67,5	69,2	79,3
9	19-12-2023 09:28:25	E75S	A	67,5	69,5	78,7
9	19-12-2023 09:43:57	E170	A	67,0	67,7	77,0
9	19-12-2023 12:50:11	E75S	A	68,5	70,7	80,0
9	19-12-2023 13:35:39	E170	A	68,1	70,0	81,5
9	19-12-2023 13:48:42	BCS3	A	67,8	70,2	80,6
9	19-12-2023 15:02:06	E195	A	67,2	68,5	77,6
9	19-12-2023 15:14:31	E75S	A	68,1	69,1	78,5
9	19-12-2023 15:29:35	E195	A	67,5	69,2	81,3
9	19-12-2023 15:36:57	BE40	A	67,5	68,5	76,6
9	20-12-2023 09:42:02	E195	A	68,8	70,8	79,2
9	20-12-2023 09:55:15	B738	A	68,7	71,7	82,9
9	20-12-2023 12:59:57	E75S	A	67,0	68,6	81,2
9	20-12-2023 19:51:48	SF34	A	66,0	68,8	76,0
9	20-12-2023 20:27:54	LJ75	A	70,7	77,4	82,1
9	20-12-2023 20:32:20	E75S	A	66,2	70,7	79,0
9	20-12-2023 20:34:58	E75S	A	67,3	72,0	79,0
9	20-12-2023 20:38:17	E195	A	65,4	67,4	74,4
9	20-12-2023 21:52:04	E75S	A	69,0	72,3	81,3
9	21-12-2023 09:48:47	E170	A	68,7	71,3	78,3
9	21-12-2023 10:57:04	B788	A	68,7	71,4	79,1
9	21-12-2023 11:50:47	B788	A	68,6	70,9	81,6
9	21-12-2023 12:15:00	PC12	A	68,9	72,3	83,1
9	21-12-2023 13:00:33	B738	A	67,6	70,5	79,6
9	21-12-2023 13:12:17	E190	A	67,7	69,7	78,1
9	21-12-2023 14:18:45	E195	A	68,0	69,6	78,0
9	21-12-2023 15:05:32	HDJT	A	69,6	70,9	78,7
9	21-12-2023 15:53:04	B738	A	68,3	70,8	78,3
9	21-12-2023 16:20:04	C68A	A	68,4	70,9	79,8
9	21-12-2023 17:04:56	A319	A	67,1	69,0	78,3
9	21-12-2023 17:26:48	A339	D	67,9	71,0	82,9
9	21-12-2023 18:02:00	B788	A	68,8	71,6	81,8
9	21-12-2023 18:05:10	E190	A	64,4	67,2	74,4
9	21-12-2023 18:12:37	A321	A	69,1	75,5	83,9
9	21-12-2023 18:15:28	E170	A	63,5	66,8	74,6
9	21-12-2023 18:19:27	PC12	A	67,3	71,7	80,9
9	21-12-2023 18:24:04	E190	A	67,8	73,1	82,6
9	21-12-2023 18:26:37	A21N	A	65,2	68,2	76,4
9	21-12-2023 18:32:48	A320	A	65,7	69,6	77,2
9	21-12-2023 18:45:11	E195	A	65,2	67,1	74,2
9	21-12-2023 18:47:09	A320	A	70,8	76,4	86,1
9	21-12-2023 18:53:50	E190	A	63,1	65,5	73,1

9	21-12-2023 19:58:01	B38M	A	68,1	73,1	80,4
9	21-12-2023 20:00:36	SF34	A	66,5	68,9	75,6
9	21-12-2023 20:48:05	CL35	A	64,3	67,6	73,9
9	21-12-2023 21:11:13	E75S	A	65,0	69,1	76,2
9	21-12-2023 21:40:35	B38M	A	67,9	70,8	77,0
9	22-12-2023 06:03:35	B38M	A	66,9	70,1	75,9
9	22-12-2023 08:17:01	B38M	A	69,9	75,6	84,6
9	22-12-2023 08:22:58	E190	A	68,0	70,2	77,1
9	22-12-2023 08:24:37	E75S	A	69,8	71,7	78,8
9	22-12-2023 08:46:33	B738	A	73,2	76,2	83,6
9	22-12-2023 08:49:15	E195	A	73,7	77,1	86,8
9	22-12-2023 08:51:35	B738	A	71,3	75,6	84,5
9	22-12-2023 09:24:42	E190	A	69,2	73,9	81,2
9	22-12-2023 10:55:51	E75S	A	71,7	74,5	81,7
9	22-12-2023 11:11:03	B738	A	69,0	72,1	81,3
9	22-12-2023 11:19:45	B789	A	67,9	70,5	79,3
9	22-12-2023 11:22:45	A321	A	68,3	70,1	80,4
9	22-12-2023 16:15:05	E195	A	65,4	68,3	75,4
9	22-12-2023 16:41:55	E75S	A	69,8	73,7	80,6
9	22-12-2023 17:13:22	B738	A	69,9	73,7	84,2
9	22-12-2023 17:50:49	A321	A	68,8	71,3	80,3
9	22-12-2023 17:57:04	E190	A	69,4	71,2	78,5
9	22-12-2023 18:14:17	A320	A	70,0	77,8	89,5
9	22-12-2023 18:18:45	E195	A	64,5	67,2	73,5
9	22-12-2023 18:25:45	B38M	A	70,7	76,0	88,7
9	22-12-2023 18:30:58	E195	A	68,7	74,9	84,6
9	22-12-2023 18:33:02	A319	A	70,5	74,0	83,9
9	22-12-2023 18:40:42	E190	A	66,4	69,6	77,2
9	22-12-2023 18:47:52	E190	A	66,7	71,0	80,4
9	22-12-2023 18:56:52	E295	A	68,8	73,5	77,8
9	22-12-2023 18:59:37	A321	A	65,3	70,0	78,0
9	22-12-2023 19:03:08	B738	A	68,2	71,4	80,0
9	22-12-2023 19:05:22	E75S	A	68,4	74,0	78,9
9	22-12-2023 19:07:56	E195	A	64,1	68,0	73,1
9	22-12-2023 19:11:02	B38M	A	63,9	66,9	72,9
9	22-12-2023 19:13:58	E170	A	72,0	78,5	88,1
9	22-12-2023 19:16:45	E195	A	66,9	71,3	78,4
9	22-12-2023 19:18:43	E170	A	68,5	74,0	81,9
9	22-12-2023 19:20:59	B38M	A	70,1	75,7	89,7
9	22-12-2023 19:29:19	E75S	A	69,6	74,2	83,9
9	22-12-2023 19:31:54	E75S	A	65,8	69,2	75,8
9	22-12-2023 19:52:31	E195	A	65,0	70,2	80,7
9	22-12-2023 20:02:18	B738	A	71,5	76,4	80,5
9	22-12-2023 20:04:58	E75S	A	68,4	71,0	78,4
9	22-12-2023 20:14:21	B38M	A	64,9	69,0	77,6
9	22-12-2023 20:21:41	A320	A	69,7	73,7	81,8
9	22-12-2023 20:34:57	E75S	A	67,7	72,2	78,1
9	22-12-2023 20:40:49	A320	A	68,3	71,2	78,3
9	22-12-2023 21:23:26	E190	A	62,0	65,4	71,0
9	22-12-2023 21:32:45	E75S	A	67,5	71,6	81,8
9	22-12-2023 21:47:56	B38M	A	64,0	69,2	76,6
9	22-12-2023 21:51:38	B38M	A	70,4	74,4	80,4
9	22-12-2023 21:56:54	B38M	A	69,7	73,6	79,7
9	22-12-2023 21:59:17	A21N	A	70,3	75,8	85,2
9	23-12-2023 06:11:20	E190	A	70,1	73,0	81,2
9	23-12-2023 06:15:20	E75S	A	73,0	75,9	82,0
9	23-12-2023 06:18:21	E195	A	68,5	70,9	79,0
9	23-12-2023 06:21:07	E195	A	68,4	72,8	80,7
9	23-12-2023 06:29:00	E190	A	65,8	68,6	76,6

9	23-12-2023 06:31:23	B38M	A	72,0	74,9	81,6
9	23-12-2023 06:37:08	E195	A	73,4	76,5	87,0
9	23-12-2023 06:42:34	SF34	A	70,4	73,1	79,4
9	23-12-2023 07:23:37	E195	A	67,8	69,6	77,8
9	23-12-2023 08:02:08	B738	A	68,8	71,4	79,6
9	23-12-2023 08:32:29	E190	A	67,0	70,3	76,0
9	23-12-2023 08:36:55	A320	A	70,7	72,9	80,3
9	23-12-2023 08:40:09	A21N	A	67,6	70,0	79,7
9	23-12-2023 08:41:52	E195	A	69,4	73,3	78,4
9	23-12-2023 08:44:54	B738	A	70,9	73,7	81,7
9	23-12-2023 08:47:04	A321	A	71,8	74,8	83,2
9	23-12-2023 09:00:18	A21N	A	71,6	74,3	80,6
9	23-12-2023 09:02:29	E170	A	70,7	76,2	85,0
9	23-12-2023 09:04:11	E190	A	68,3	71,0	80,6
9	23-12-2023 09:11:58	E195	A	71,5	74,3	81,0
9	23-12-2023 09:17:07	E75S	A	70,9	74,1	83,4
9	23-12-2023 09:20:25	E195	A	70,0	73,5	84,6
9	23-12-2023 09:46:55	B738	A	69,6	74,9	80,7
9	23-12-2023 10:12:50	E170	A	69,7	72,6	78,8
9	23-12-2023 10:27:16	CL35	A	70,6	73,9	82,3
9	23-12-2023 10:32:54	E170	A	68,3	70,6	77,4
9	23-12-2023 11:04:32	B753	A	66,4	69,9	75,4
9	23-12-2023 11:07:34	E190	A	69,8	72,1	79,3
9	23-12-2023 11:30:57	A321	A	72,7	78,2	86,8
9	23-12-2023 11:37:19	E190	A	71,4	75,5	85,0
9	23-12-2023 11:56:24	A321	A	67,2	68,9	78,3
9	23-12-2023 11:57:52	A20N	A	70,9	73,5	81,3
9	23-12-2023 12:16:01	E195	A	73,4	76,6	85,5
9	23-12-2023 12:18:54	E190	A	71,9	75,2	82,3
9	23-12-2023 12:43:29	E195	A	67,5	70,4	79,0
9	23-12-2023 12:51:21	A21N	A	75,6	81,3	85,2
9	23-12-2023 13:21:51	E190	A	70,5	74,3	79,5
9	25-12-2023 08:38:02	GA6C	A	67,8	72,3	77,8
9	25-12-2023 10:53:43	E190	A	69,7	73,8	85,0
9	25-12-2023 11:08:45	A321	A	74,3	79,7	86,3
9	25-12-2023 11:48:05	A321	A	69,9	72,8	79,0
9	25-12-2023 11:51:16	E190	A	70,6	75,9	84,8
9	25-12-2023 11:59:47	A20N	A	69,1	75,8	83,3
9	25-12-2023 12:06:04	E195	A	67,8	71,9	79,0
9	25-12-2023 12:14:43	E75S	A	70,4	74,1	84,0
9	25-12-2023 12:44:54	E75S	A	71,6	75,9	86,0
9	25-12-2023 13:01:21	A21N	A	69,9	74,2	80,3
9	25-12-2023 13:13:08	E75S	A	69,9	74,7	78,9
9	25-12-2023 13:34:12	E75S	A	69,2	73,4	80,0
9	25-12-2023 13:36:08	B38M	A	69,4	73,9	82,6
9	25-12-2023 13:51:18	A319	A	66,9	69,2	76,5
9	25-12-2023 14:04:34	A20N	A	67,2	69,5	76,7
9	25-12-2023 14:06:10	E195	A	70,2	74,7	82,8
9	25-12-2023 15:31:41	E75S	A	69,7	73,1	80,1
9	25-12-2023 17:49:35	E170	A	66,7	68,7	75,7
9	25-12-2023 17:53:55	E195	A	71,0	74,1	81,8
9	25-12-2023 18:29:41	E195	A	67,4	74,9	79,4
9	25-12-2023 18:33:12	E195	A	70,2	74,2	82,7
9	25-12-2023 18:42:22	E75S	A	65,7	69,0	76,8
9	25-12-2023 18:44:18	E190	A	68,0	71,4	80,8
9	25-12-2023 18:48:25	E190	A	66,1	71,4	78,2
9	25-12-2023 19:21:51	A21N	A	62,8	65,8	72,8
9	25-12-2023 20:21:19	B738	A	66,2	69,9	77,6
9	25-12-2023 21:28:00	E195	A	64,6	68,8	74,6

9	25-12-2023 21:30:05	A21N	A	67,1	72,6	81,6
9	25-12-2023 21:37:03	E170	A	64,1	67,5	74,1
9	25-12-2023 21:43:11	B38M	A	65,6	67,8	74,6
9	26-12-2023 11:34:59	E195	A	72,4	77,9	85,8
9	26-12-2023 11:39:42	E75S	A	69,2	72,9	82,6
9	26-12-2023 13:08:17	G280	A	69,1	71,8	78,6
9	26-12-2023 13:43:50	E75S	A	71,8	75,2	86,7
9	26-12-2023 13:48:18	BCS3	A	73,1	76,3	86,6
9	26-12-2023 13:56:59	A20N	A	67,4	72,6	78,6
9	26-12-2023 14:10:27	B738	A	74,5	77,7	88,8
9	26-12-2023 14:20:47	B38M	A	66,6	70,3	76,1
9	26-12-2023 14:51:50	A321	A	68,1	70,5	77,2
9	26-12-2023 15:01:15	E75S	A	72,5	76,5	85,5
9	26-12-2023 15:11:54	E75S	A	69,1	71,1	78,6
9	26-12-2023 15:26:08	E195	D	69,4	71,1	79,0
9	26-12-2023 15:28:09	E170	A	70,5	74,7	81,6
9	26-12-2023 15:31:44	E75S	A	70,2	72,9	79,8
9	26-12-2023 15:33:06	E190	A	70,4	73,2	80,9
9	26-12-2023 16:51:17	A321	A	72,9	78,0	85,0
9	26-12-2023 17:13:42	A21N	A	69,0	73,2	79,8
9	26-12-2023 18:31:53	AT75	A	63,0	65,2	72,0
9	26-12-2023 18:58:54	E170	A	64,5	68,6	73,5
9	26-12-2023 20:09:41	B38M	A	67,0	72,1	80,6
9	26-12-2023 21:11:16	E170	A	67,6	70,7	80,4
9	26-12-2023 21:33:44	E75S	A	64,3	68,3	74,8
9	26-12-2023 21:42:33	B38M	A	70,2	73,2	79,8
9	26-12-2023 21:50:53	B38M	A	69,7	72,6	80,1
9	26-12-2023 21:52:58	BCS3	A	67,9	71,8	79,7
9	26-12-2023 21:59:02	E75S	A	67,2	71,0	78,7
9	27-12-2023 06:20:06	E190	A	69,8	71,9	78,8
9	27-12-2023 06:26:35	E195	A	67,4	70,7	77,8
9	27-12-2023 06:30:39	E195	A	69,8	73,9	81,9
9	27-12-2023 06:35:50	A320	A	67,3	69,6	77,3
9	27-12-2023 06:41:47	E75S	A	73,7	78,6	87,5
9	27-12-2023 07:03:52	B38M	A	71,9	75,5	86,2
9	27-12-2023 07:27:23	A21N	A	67,9	69,9	77,9
9	27-12-2023 08:43:19	E190	A	69,8	72,6	79,4
9	27-12-2023 08:59:51	E195	A	69,1	73,0	78,6
9	27-12-2023 09:15:28	CRJ9	A	66,2	68,3	77,3
9	27-12-2023 09:26:02	E190	A	69,9	73,5	79,5
9	27-12-2023 09:28:11	E170	A	69,6	73,7	82,6
9	27-12-2023 11:17:16	GLF5	A	67,8	70,6	76,8
9	27-12-2023 11:55:00	E190	A	67,2	68,7	76,2
9	27-12-2023 12:01:15	A321	A	67,5	70,9	77,0
9	27-12-2023 12:08:37	B788	A	69,3	70,6	78,4
9	27-12-2023 12:37:01	E75S	A	70,6	74,3	82,1
9	27-12-2023 18:44:33	BCS3	A	76,0	81,7	86,0
9	28-12-2023 07:51:36	E195	D	67,7	68,7	78,5
9	28-12-2023 08:29:12	A320	D	67,8	70,3	78,2
9	28-12-2023 09:40:15	B738	A	65,1	67,9	74,6
9	28-12-2023 12:59:18	A21N	A	66,5	67,7	77,9
9	28-12-2023 14:46:08	E190	A	67,5	69,4	78,3
9	29-12-2023 09:22:18	E75S	A	68,8	71,8	86,4
9	29-12-2023 09:27:31	E195	A	68,6	71,3	84,2
9	29-12-2023 13:41:27	BCS3	A	67,7	69,1	76,7
9	29-12-2023 14:56:19	B788	A	68,0	69,5	80,3
9	29-12-2023 15:21:50	E190	A	67,5	71,8	83,7
9	29-12-2023 15:24:14	B38M	A	67,5	68,9	80,1
9	29-12-2023 15:25:38	E195	A	67,5	69,3	79,8

9	29-12-2023 15:43:41	E170	A	66,7	67,7	75,8
9	29-12-2023 15:45:43	E75S	A	67,7	68,4	76,7
9	30-12-2023 12:03:07	E75S	A	70,9	73,7	79,9
9	30-12-2023 12:05:11	E195	A	70,9	74,7	86,8
9	30-12-2023 12:15:00	A21N	A	73,2	77,3	86,8
9	30-12-2023 12:16:28	A21N	A	68,2	71,3	78,6
9	30-12-2023 12:28:09	E195	A	73,1	76,2	82,1
9	30-12-2023 12:46:55	BCS3	A	71,6	77,9	86,8
9	30-12-2023 12:51:30	B788	A	71,6	73,6	82,4
9	30-12-2023 14:29:15	A20N	A	71,1	73,9	82,3
9	31-12-2023 18:14:54	A321	D	63,8	65,3	75,8
9	31-12-2023 18:19:46	A321	D	70,7	75,9	87,7
9	31-12-2023 19:27:22	A320	D	63,5	65,3	76,3
9	31-12-2023 19:50:14	E75S	D	65,1	70,1	76,5
9	31-12-2023 19:55:17	A320	D	63,5	65,1	76,3
9	31-12-2023 20:44:50	B38M	D	66,8	71,1	78,0

Zestawienie zdarzeń akustycznych spowodowanych przelotami statków powietrznych w porze nocy (przedział czasu pomiędzy godz. 22.00 – 06.00)

Nr punktu pomiarowego	Data i godz. zdarzenia	Samolot	Operacja*	L _{Aeq}	L _{Amax}	L _{AE}
				[dB]	[dB]	[dB]
9	04-12-2023 22:04:01	B738	D	62,2	64,3	77,1
9	04-12-2023 22:10:32	B738	D	61,0	64,2	77,8
9	04-12-2023 22:34:47	A306	D	63,5	64,9	74,6
9	04-12-2023 23:30:23	E75S	D	60,5	61,3	73,7
9	04-12-2023 23:32:41	E195	D	60,7	61,4	70,3
9	04-12-2023 23:43:56	E195	D	61,7	63,2	75,5
9	05-12-2023 05:53:52	A21N	D	59,4	61,3	71,5
9	05-12-2023 22:19:29	A306	D	62,2	67,8	80,1
9	05-12-2023 22:34:57	B734	P	61,7	64,8	76,7
9	05-12-2023 22:58:35	E75S	D	62,2	63,2	73,0
9	05-12-2023 23:14:11	E190	D	62,9	65,0	75,9
9	05-12-2023 23:16:10	E190	D	61,5	63,4	73,5
9	06-12-2023 00:36:18	B734	D	60,8	63,5	73,1
9	06-12-2023 22:23:34	A306	D	62,0	65,0	75,8
9	06-12-2023 23:11:54	E75S	D	60,7	61,7	71,1
9	06-12-2023 23:16:48	E190	D	61,9	63,0	71,9
9	06-12-2023 23:17:33	E195	D	60,4	63,6	70,4
9	06-12-2023 23:19:49	E195	D	60,3	62,9	73,3
9	06-12-2023 23:25:41	E190	D	60,4	61,7	70,0
9	07-12-2023 22:22:15	B734	D	62,1	67,0	76,7
9	07-12-2023 22:48:36	A306	D	63,2	66,0	73,6
9	07-12-2023 23:26:15	E195	D	62,8	64,9	75,8
9	07-12-2023 23:30:57	E190	D	63,6	66,6	77,4
9	08-12-2023 22:04:22	B734	D	64,7	70,1	80,8
9	08-12-2023 22:06:41	A306	D	61,1	63,9	71,1
9	08-12-2023 23:25:25	E75S	D	59,8	62,6	69,3
9	09-12-2023 23:05:23	E190	D	59,6	60,3	69,2
9	09-12-2023 23:07:21	E75S	D	59,9	63,6	76,2
9	09-12-2023 23:15:45	E75S	D	61,4	64,0	75,2
9	09-12-2023 23:16:59	E75S	D	59,0	60,8	68,0
9	09-12-2023 23:19:42	E190	D	60,3	62,0	70,8
9	10-12-2023 05:55:27	A321	D	59,2	61,2	71,2
9	10-12-2023 22:36:44	B738	D	61,8	64,7	75,6
9	11-12-2023 05:55:32	A21N	D	61,1	63,6	74,1
9	11-12-2023 05:58:04	E75S	D	61,0	63,8	72,4
9	11-12-2023 22:03:19	A321	D	62,0	64,6	76,2
9	11-12-2023 22:11:48	A306	D	63,0	66,5	79,6
9	11-12-2023 22:14:07	B738	D	60,4	62,0	69,9

9	11-12-2023 23:00:09	E195	D	62,4	64,8	71,4
9	11-12-2023 23:06:30	E75S	D	60,4	63,9	72,5
9	11-12-2023 23:09:14	E190	D	61,5	66,2	72,7
9	11-12-2023 23:20:46	E195	D	60,3	61,7	69,4
9	11-12-2023 23:24:06	E170	D	64,4	68,8	80,4
9	11-12-2023 23:28:37	E195	D	60,6	63,4	73,0
9	11-12-2023 23:34:13	E75S	D	60,4	62,9	71,2
9	13-12-2023 05:50:38	A21N	D	61,3	62,7	70,9
9	13-12-2023 05:56:43	A21N	D	60,3	60,6	69,3
9	13-12-2023 22:01:58	A306	D	61,5	66,6	77,0
9	13-12-2023 23:15:08	E190	D	59,8	61,4	71,2
9	13-12-2023 23:18:48	E75S	D	62,0	63,2	71,5
9	13-12-2023 23:20:20	E75S	D	60,3	63,9	74,9
9	13-12-2023 23:21:22	E190	D	60,6	62,2	70,6
9	15-12-2023 23:06:19	B738	A	61,5	62,7	71,1
9	17-12-2023 05:31:09	B38M	A	67,7	71,3	78,1
9	17-12-2023 05:58:28	E190	A	65,7	69,0	78,3
9	17-12-2023 23:15:38	E190	D	63,0	66,8	75,0
9	18-12-2023 05:08:13	A306	A	61,2	63,9	71,2
9	21-12-2023 22:24:09	E75S	A	63,0	67,3	73,0
9	21-12-2023 22:30:40	E195	A	63,7	67,8	74,9
9	22-12-2023 22:00:58	B789	A	63,5	67,5	77,3
9	22-12-2023 22:02:54	E190	A	70,7	79,1	90,2
9	22-12-2023 22:10:59	B38M	A	70,7	76,7	88,5
9	22-12-2023 22:13:06	C650	A	62,8	67,8	76,0
9	22-12-2023 22:14:52	BCS3	A	62,1	66,8	74,4
9	22-12-2023 22:21:03	B38M	A	62,5	66,9	73,7
9	22-12-2023 22:22:07	B738	A	72,3	79,1	90,4
9	22-12-2023 22:25:03	E195	A	63,5	69,3	76,9
9	22-12-2023 22:26:04	E195	A	67,6	74,7	86,3
9	22-12-2023 22:30:22	E195	A	65,7	69,6	77,1
9	22-12-2023 22:32:12	E195	A	65,3	70,3	77,1
9	22-12-2023 22:36:04	E75S	A	62,4	65,2	72,8
9	22-12-2023 22:40:06	E75S	A	63,4	67,9	75,7
9	22-12-2023 22:41:33	E170	A	64,8	70,3	78,0
9	22-12-2023 22:43:39	E195	A	60,8	66,4	74,8
9	22-12-2023 22:45:40	B38M	A	63,0	66,0	76,2
9	22-12-2023 22:48:21	B350	A	70,6	76,0	86,1
9	22-12-2023 22:53:07	E195	A	67,2	71,1	79,3
9	22-12-2023 22:55:05	E75S	A	66,4	73,2	81,9
9	22-12-2023 22:57:23	C56X	A	67,5	73,5	84,6
9	22-12-2023 22:59:25	B738	A	65,2	70,0	79,7
9	22-12-2023 23:09:54	E190	A	70,8	75,9	84,8
9	22-12-2023 23:25:24	E195	A	64,7	72,6	78,8
9	22-12-2023 23:27:18	A321	A	69,8	76,2	78,8
9	22-12-2023 23:34:26	A319	A	65,0	71,4	75,8
9	22-12-2023 23:37:40	A20N	A	68,1	74,9	85,9
9	22-12-2023 23:50:44	B738	A	59,9	63,9	69,5
9	22-12-2023 23:58:36	B38M	D	69,4	79,2	87,6
9	23-12-2023 00:11:33	E170	A	63,2	70,6	77,0
9	23-12-2023 00:15:39	A21N	A	64,8	69,2	75,2
9	23-12-2023 00:26:26	B738	A	66,4	73,0	81,9
9	23-12-2023 00:39:08	GLF5	A	65,8	71,2	79,6
9	23-12-2023 00:49:15	A321	A	67,2	72,5	81,7
9	23-12-2023 01:08:08	B38M	A	65,8	71,2	80,4
9	23-12-2023 01:31:25	B38M	A	68,5	73,2	78,9
9	23-12-2023 01:32:23	A321	A	73,3	79,4	92,1
9	23-12-2023 02:55:26	B738	A	69,5	73,5	78,5
9	23-12-2023 05:26:54	B789	A	64,1	73,3	80,9

9	23-12-2023 05:52:17	B738	A	63,4	66,8	74,5
9	23-12-2023 05:56:30	B38M	A	64,7	70,0	77,0
9	23-12-2023 22:00:06	B738	A	61,6	64,8	73,9
9	23-12-2023 22:10:08	B38M	A	62,4	67,5	73,2
9	23-12-2023 23:17:13	B38M	A	60,9	64,9	70,0
9	23-12-2023 23:21:29	A21N	A	61,1	63,9	70,7
9	23-12-2023 23:36:12	A21N	A	67,3	71,2	80,9
9	23-12-2023 23:56:11	B738	A	62,0	64,5	72,5
9	24-12-2023 00:24:40	A21N	A	64,2	66,6	74,2
9	24-12-2023 01:04:03	E195	A	61,1	64,3	70,2
9	25-12-2023 05:43:36	A332	A	62,2	66,4	73,3
9	25-12-2023 22:00:25	BCS3	A	63,1	66,3	74,3
9	25-12-2023 22:24:53	A320	A	66,0	69,8	77,4
9	26-12-2023 22:01:30	E75S	A	69,5	75,6	79,1
9	26-12-2023 22:02:27	E195	A	63,3	69,1	79,9
9	26-12-2023 22:19:42	B738	A	60,5	63,2	70,0
9	26-12-2023 22:27:32	A320	A	64,5	69,2	73,6
9	26-12-2023 22:29:37	A321	A	68,9	71,9	79,6
9	26-12-2023 22:35:13	A319	A	70,5	73,3	82,3
9	26-12-2023 22:37:27	A321	A	74,2	81,8	90,8
9	26-12-2023 22:41:38	A321	A	67,5	71,9	80,9
9	26-12-2023 22:46:46	A321	A	61,8	65,0	72,2
9	26-12-2023 22:49:18	A21N	A	67,2	72,1	81,9
9	26-12-2023 23:00:43	A321	A	60,6	63,6	70,2
9	28-12-2023 23:51:34	B738	D	63,1	66,7	79,3
9	31-12-2023 23:02:29	E195	D	60,8	62,3	70,3
9	31-12-2023 23:04:28	E75S	D	67,2	74,9	84,9
9	31-12-2023 23:14:58	E170	D	64,5	72,5	81,8

LEGENDA

- Samolot – typ statku powietrznego
- Operacja: A – lądowanie, D – start, P - przelot
- L_{Aeq} – równoważny poziom dźwięku dla zdarzenia akustycznego
- L_{Amax} – maksymalny poziom dźwięku dla zdarzenia akustycznego
- L_{AE} – ekspozycyjny poziom dźwięku dla zdarzenia akustycznego
- Kolorem niebieskim oznaczono zdarzenia akustyczne, które miały miejsce w czasie gdy nie były spełnione warunki meteorologiczne¹, a także wystąpiły zakłócenia od innych źródeł hałasu.

WARUNKI METEOROLOGICZNE DLA LOTNISKA:

Ustalane na wysokości: 106,51 m n.p.m

Wielkości ustalane	Wartości maksymalne	Wartości minimalne	Wartości średnie miesięczne
	w danym miesiącu	w danym miesiącu	
Temperatura [°C]	10,3	-8,7	2,1
Wilgotność względna [%]	100	61	89
Ciśnienie atmosferyczne [hPa]	1020,3	963,8	997,6

¹ Warunki meteorologiczne określone w punkcie D "Referencyjnej metodyki wykonywania ciągłych pomiarów poziomów hałasu wprowadzanego do środowiska przez starty, lądowania i przeloty statków powietrznych w związku z eksploatacją lotnisk oraz kryteria lokalizacji punktów pomiarowych" (Załącznik nr 1 do rozporządzenia Ministra Środowiska z dnia 16 czerwca 2011 r. w sprawie wymagań w zakresie prowadzenia pomiarów poziomów substancji lub energii w środowisku przez zarządzającego drogą, linią kolejową, linią tramwajową, lotniskiem lub portem).

Miesięczna róża wiatrów

